

Virtualne omejitve

Matjaž Mihelj

Univerza v Ljubljani,
Fakulteta za elektrotehniko,
matjaz.mihelj@fe.uni-lj.si,
(01) 4768 373
www.robolab.si, www.cobotic.si

Virtualne omejitve industrijskih robotov

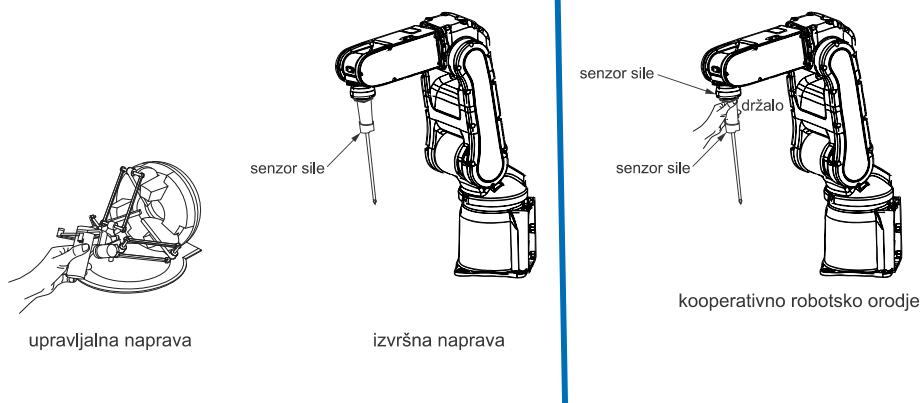


Prostor, ki ga robot ne
sme zapustiti

Prostor, v katerega robot
ne sme vstopiti

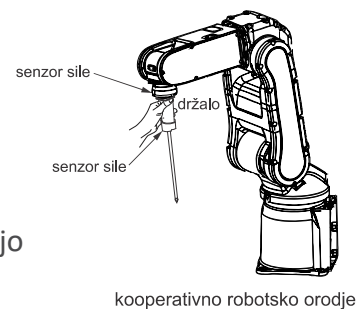
Virtualni „strop“

Teleoperacijski sistem / kooperativno robotsko orodje



Samozaporni sistemi

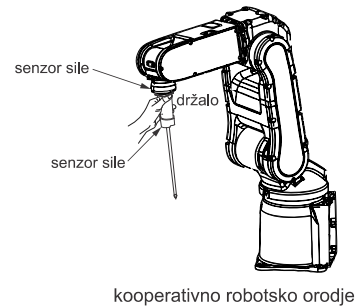
- samozaporen mehanizem
- togi segmenti
- senzor sile
- aktivno admitančno vodenje
- visoka natančnost, ki omogoča mikromanipulacijo
- filtriranje tresljajev (tremor) operaterja
- virtualne omejitve



kooperativno robotsko orodje

Nesamozaporni sistemi

- nesamozaporen mehanizem
- togi segmenti
- senzor sile (lahko tudi brez)
- impedančno vodenje
- filtriranje tresljajev (tremor) operaterja
- virtualne omejitve

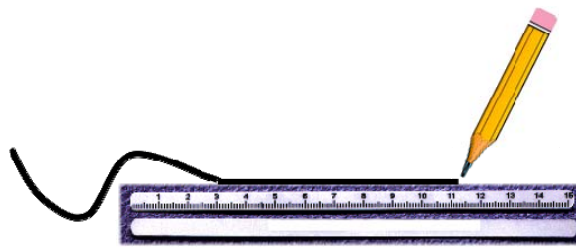


Virtualne omejitve

- NISO mehanske omejitve robotskega sistema ali okolja, s katerim je robot v stiku
- SO programsko generirane omejitve gibanja
 - v teleoperacijskih sistemih,
 - v kooperativnih sistemih vodenja,
 - pri sodelujočih robotih.
- SO del regulacijskega sistema in so superponirane na fizično okolje v delovnem prostoru robota
- njihov namen je
 - omejiti delovno območje robota,
 - usmerjati ali omejiti gibe operaterja
- uporabljajo se v nalogah, ki zahtevajo
 - ločljivost in natančnost robota ter
 - človekove sposobnosti odločanja

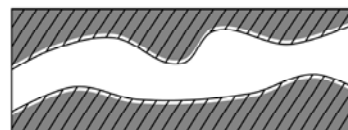
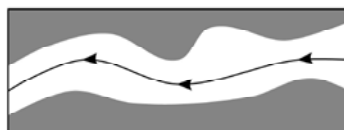
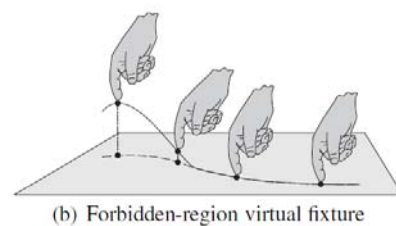
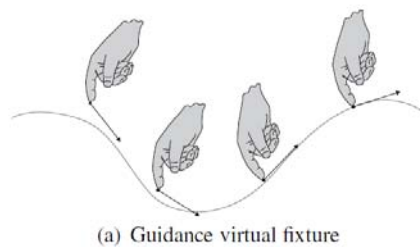
Virtualne omejitve

- abstraktna senzorna informacija superponirana na povratno senzorno informacijo iz okolja, s katerim je v stiku izvršna naprava teleoperacijskega sistema ali kooperativni robotski sistem

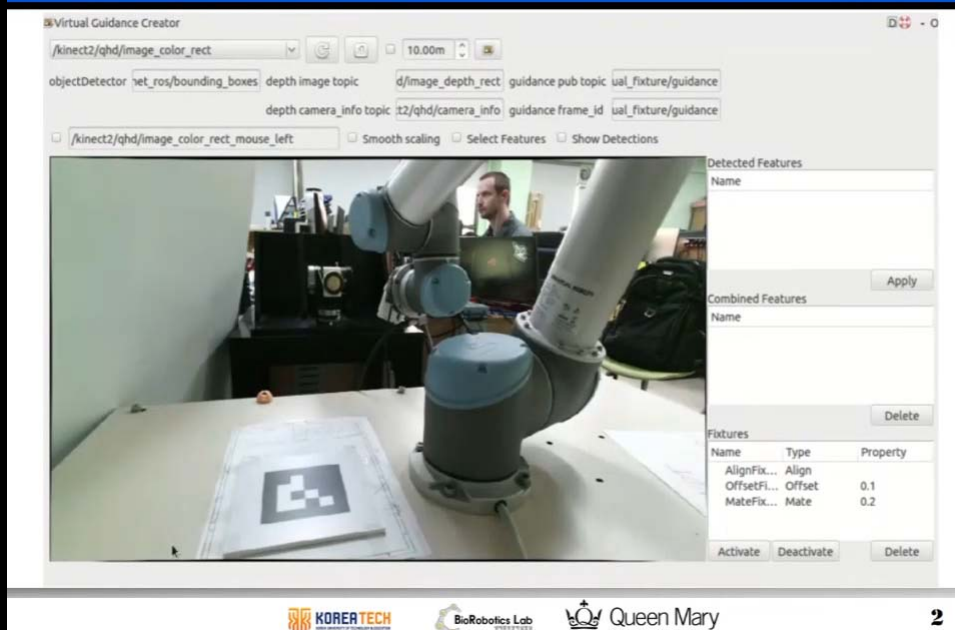


Virtualne omejitve

- usmerjevalne
- omejevalne

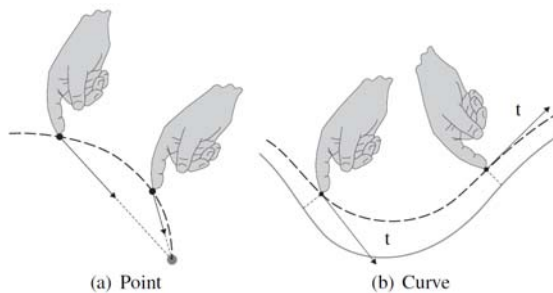


Interactive Generation of Virtual Fixtures for Bilateral Teleoperation

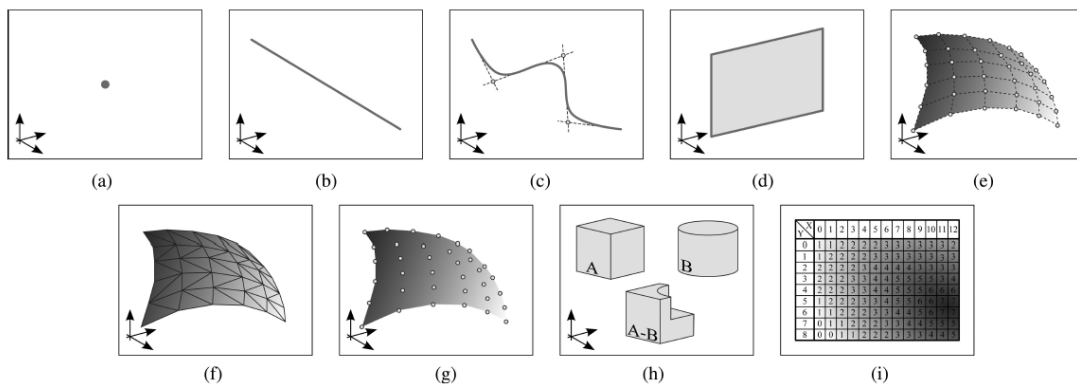


Usmerjevalne virtualne omejitve

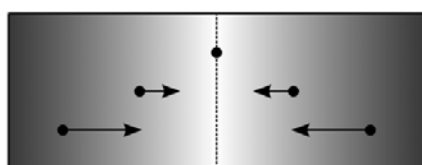
- smer proti točki,
- smer gibanja vzdolž krivulje,
- smer gibanja vzdolž površine virtualne omejitve



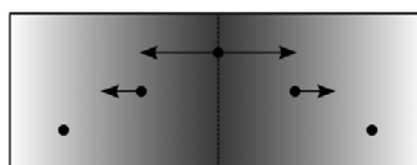
Izvedbe virtualnih omejitev



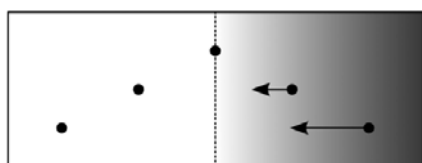
Privlačne in odbojne omejitve



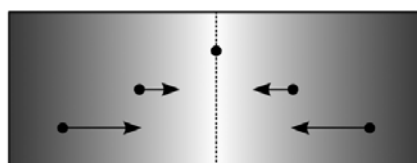
Privlačna omejitev



Odbojna omejitev

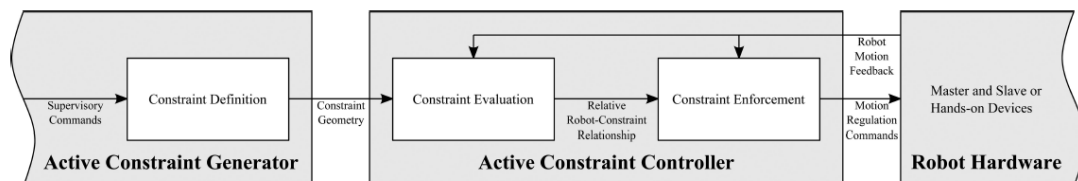


Enostranska omejitev

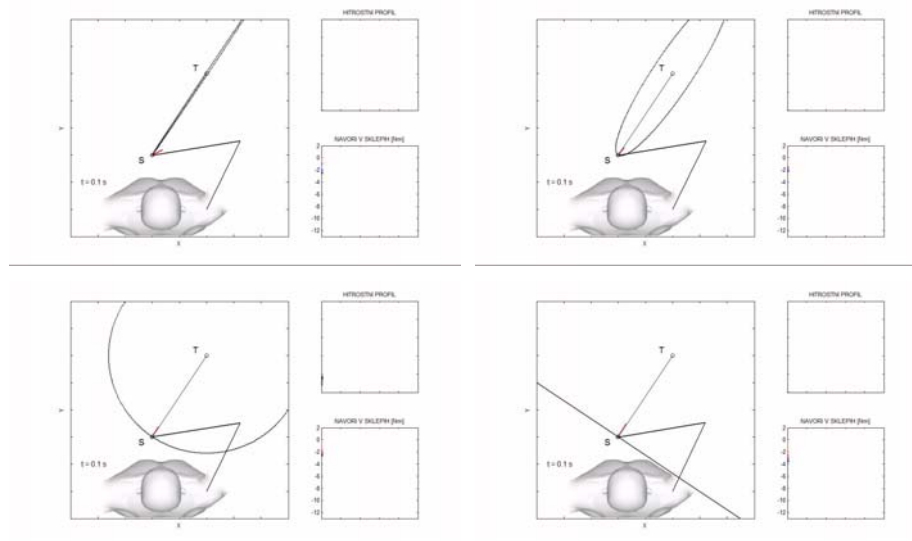


Dvostranska omejitev

Izvedba omejitve

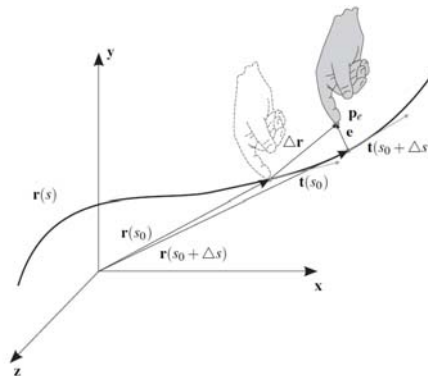


Izvedba virtualne omejitve



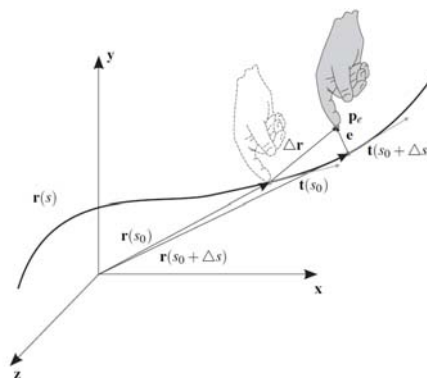
Povzeto po: Doktorska disertacija Matjaž Zadavec

Tangenta in najbližja točka na krivulji



- krivulja $\mathbf{r}(s)$ definirana na intervalu $s \in [s_s, s_e]$
- nima singularnosti na intervalu $u \in [s_s, s_e]$
- položaj vrha robota $\mathbf{p}_e = (x_e, y_e, z_e)$

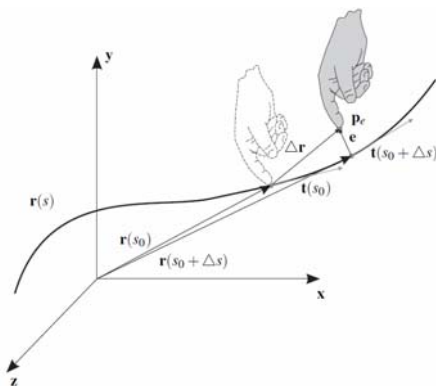
Tangenta in najbližja točka na krivulji



$$\mathbf{p}_e = \mathbf{r}(s_0) + \Delta \mathbf{r} = \mathbf{r}(s_0 + \Delta s) + \mathbf{e}$$

- znan parameter s_0
- neznan, vendar majhen inkrement Δs

Tangenta in najbližja točka na krivulji



$$\mathbf{p}_e = \mathbf{r}(s_0) + \Delta \mathbf{r} = \mathbf{r}(s_0 + \Delta s) + \mathbf{e}$$

$$\mathbf{r}(s_0 + \Delta s) = \mathbf{r}(s_0) + \Delta \mathbf{r} - \mathbf{e}$$

$$\mathbf{r}(s_0 + \Delta s) = \mathbf{r}(s_0) + \frac{\Delta s}{1!} \mathbf{r}'(s_0) + \frac{\Delta s^2}{2!} \mathbf{r}''(s_0) + \dots$$

$$\mathbf{r}(s_0) + \frac{\Delta s}{1!} \mathbf{r}'(s_0) + \frac{\Delta s^2}{2!} \mathbf{r}''(s_0) + \dots = \mathbf{r}(s_0) + \Delta \mathbf{r} - \mathbf{e}$$

$$\frac{\Delta s}{1!} \mathbf{r}'(s_0) + \frac{\Delta s^2}{2!} \mathbf{r}''(s_0) + \dots = \Delta \mathbf{r} - \mathbf{e}$$

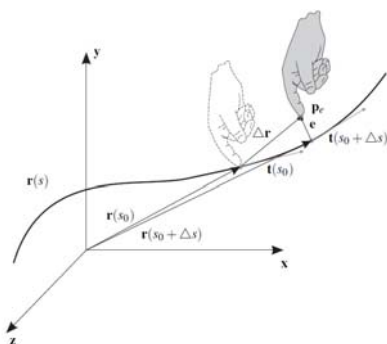
$$\Delta s \mathbf{r}'(s_0) = \Delta \mathbf{r} - (\mathbf{e} + \frac{\Delta s^2}{2!} \mathbf{r}''(s_0) + \dots)$$

$$\Delta s \mathbf{r}'(s_0) \cdot \mathbf{r}'(s_0) = \mathbf{r}'(s_0) \cdot \Delta \mathbf{r} - \mathbf{r}'(s_0) \cdot (\mathbf{e} + \frac{\Delta s^2}{2!} \mathbf{r}''(s_0) + \dots)$$

$$\Delta s \|\mathbf{r}'(s_0)\|^2 = \mathbf{r}'(s_0) \cdot \Delta \mathbf{r} - \mathbf{r}'(s_0) \cdot (\mathbf{e} + \frac{\Delta s^2}{2!} \mathbf{r}''(s_0) + \dots)$$

$$\Delta s = \frac{\mathbf{r}'(s_0)}{\|\mathbf{r}'(s_0)\|^2} \Delta \mathbf{r} + \frac{\mathbf{r}'(s_0)}{\|\mathbf{r}'(s_0)\|^2} (\mathbf{e} + \frac{\Delta s^2}{2!} \mathbf{r}''(s_0) + \dots)$$

Tangenta in najbližja točka na krivulji



$$\Delta s = \frac{\mathbf{r}'(s_0)}{\|\mathbf{r}'(s_0)\|^2} \Delta \mathbf{r} + \frac{\mathbf{r}'(s_0)}{\|\mathbf{r}'(s_0)\|^2} (\mathbf{e} + \frac{\Delta s^2}{2!} \mathbf{r}''(s_0) + \dots)$$

- enotski tangencialni vektor vzdolž trajektorije

$$\mathbf{t} = \frac{\mathbf{r}'(s_0)}{\|\mathbf{r}'(s_0)\|}$$

$$\Delta s = \frac{1}{\|\mathbf{r}'(s_0)\|} \mathbf{t} \cdot \Delta \mathbf{r} + \frac{1}{\|\mathbf{r}'(s_0)\|} \mathbf{t} \cdot (\mathbf{e} + \frac{\Delta s^2}{2!} \mathbf{r}''(s_0) + \dots)$$

$$\Delta s = \frac{1}{\|\mathbf{r}'(s_0)\|} \mathbf{t} \cdot \Delta \mathbf{r} + \Delta s_{e,p} + \Delta s_{e,d}$$

- napaka zaradi neortogonalnosti vektorjev \mathbf{t} in \mathbf{e}

$$\Delta s_{e,p} = \frac{1}{\|\mathbf{r}'(s_0)\|} \mathbf{t} \cdot \mathbf{e}$$

- napaka zaradi Taylorjeve aproksimacije

$$\Delta s_{e,d} = \frac{1}{\|\mathbf{r}'(s_0)\|} \mathbf{t} \cdot (\frac{\Delta s^2}{2!} \mathbf{r}''(s_0) + \dots)$$

$$\Delta s = \frac{1}{\|\mathbf{r}'(s_0)\|} \mathbf{t} \cdot \Delta \mathbf{r}$$

$$\Delta s_e = \Delta s_{e,p} + \Delta s_{e,d}$$

Estimacija najbližje točke na krivulji

Initialize

$$s_0 = s_s, \Delta s_0 = 0$$

for $i \in \{1, \dots, \infty\}$

calculate increment Δs for i -th step

$$\mathbf{r}'_i = \mathbf{r}'(s_{i-1})$$

$$\mathbf{t}_i = \frac{\mathbf{r}'_i}{\|\mathbf{r}'_i\|}$$

$$\Delta \mathbf{r}_i = \mathbf{p}_{e,i} - \mathbf{r}_i$$

$$\Delta s_i = \frac{1}{\|\mathbf{r}'_i\|} \mathbf{t}_i \cdot \Delta \mathbf{r}_i$$

$$s_i = s_{i-1} + \Delta s_i$$

if $s_i > s_e$, *then* $s_i = s_e$

if $s_i < s_s$, *then* $s_i = s_s$

calculate error term Δs_e for increment Δs_i

$$\mathbf{e}_i = \mathbf{p}_{e,i} - \mathbf{r}(s_i)$$

$$\Delta s_e = \frac{1}{\|\mathbf{r}'_i\|} \mathbf{t}_i \cdot \mathbf{e}_i + \frac{1}{\|\mathbf{r}'_i\|} \mathbf{t}_i \cdot \left(\frac{\Delta s_i^2}{2} \mathbf{r}''(s_{i-1}) \right)$$

if Δs_e *too large*, *reiterate step* i *with new value of* s_i *instead of* s_{i-1}

$$s_{i-1} = s_i$$

else continue with step $(i+1)$

Usmerjevalne omejitve - impedančno vodenje

- polje sil v smeri zelene točke ali vzdolž krivulje
- usmerjevalna virtualna omejitev deluje kot točkovni privlak

- 1) privlačna sila: model vzmet-dušilnik

$$\mathbf{F}_{vf, attraction} = K\mathbf{d} - B\dot{\mathbf{p}}_e$$

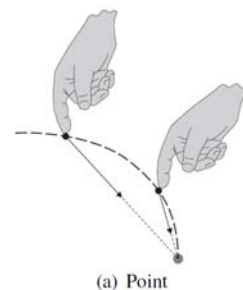
$$\mathbf{d} = \mathbf{p}_d - \mathbf{p}_e$$

- 2) privlačna sila: model z omejitvijo sile

$$\mathbf{D}(\mathbf{d}) = \begin{cases} \mathbf{d} & \text{if } \|\mathbf{d}\| < d_{max} \\ \frac{\mathbf{d}}{\|\mathbf{d}\|} d_{max} & \text{if } \|\mathbf{d}\| \geq d_{max} \end{cases}$$

$$K(t) = \begin{cases} K \frac{t}{\tau} & \text{if } t < \tau \\ K & \text{if } t \geq \tau \end{cases}$$

$$\mathbf{F}_{vf, attraction} = K(t)\mathbf{D}(\mathbf{d}) - B\dot{\mathbf{p}}_e$$



Usmerjevalne omejitve - impedančno vodenje

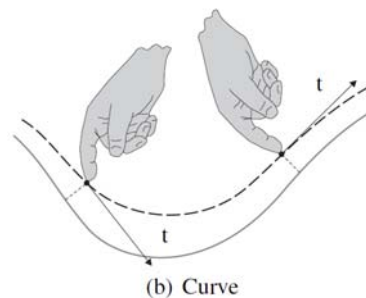
- sila vzdolž trajektorije (\mathbf{u} enotski vektor v smeri tangente v najbližji točki na krivulji)

$$\mathbf{F}_{vf,tangent} = f_t F_{max} \mathbf{u}$$

$$f_t(t) = \begin{cases} \frac{t}{\tau} & \text{if } t < \tau \\ 1 & \text{if } t \geq \tau \end{cases}$$

- skupna sila usmerjevalne virtualne omejitve

$$\mathbf{F}_{vf} = \mathbf{F}_{vf,attraction} + \mathbf{F}_{vf,tangent}$$



Usmerjevalne omejitve - admitančno vodenje

- manipulator je tipično tog
- merimo silo interakcije \mathbf{F} in jo razstavimo v
 - silo v želeni smeri \mathbf{F}_D
 - silo v prepovedani smeri \mathbf{F}_τ

- sila virtualne omejitve

$$\mathbf{F}_{vf} = \mathbf{F}_D + k_\tau \mathbf{F}_\tau$$

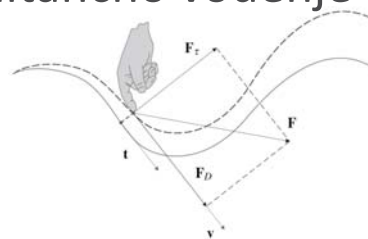
$$k_\tau \in [0, 1] \quad \text{admitančno razmerje}$$

- izračunana hitrost vrha manipulatorja

$$\mathbf{v} = \alpha(\mathbf{F}_D + k_\tau \mathbf{F}_\tau)$$

$$b = \frac{1}{\alpha} \quad \text{dušenje virtualne omejitve}$$

- toga virtualna omejitev $k_\tau = 0$
- mehka virtualna omejitev $k_\tau \neq 0$



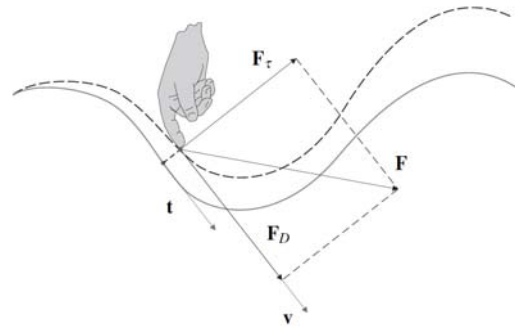
Pasivna virtualna omejitev

- vzdržuje gibanje vzdolž želene smeri
- dovoljuje odstopanje od želene trajektorije
- projekcija sile uporabnika na tangento na krivuljo (sila v željeni smeri)

$$F_D = \mathbf{t} \cdot \mathbf{F} \quad \mathbf{F}_D = \mathbf{t} F_D$$

- izračun sile v prepovedani smeri

$$\mathbf{F}_\tau = \mathbf{F} - \mathbf{F}_D$$



Aktivna virtualna omejitev

- virtualna omejitev vodi gibanje nazaj na želeno trajektorijo

$$\mathbf{d} = \mathbf{r}(s) - \mathbf{p}_e$$

$$\mathbf{U} = \mathbf{t} + k_d \mathbf{d}$$

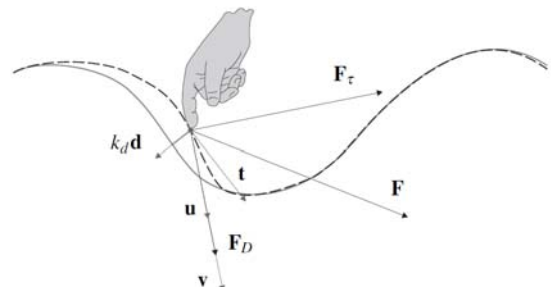
$$\mathbf{u} = \frac{\mathbf{U}}{\|\mathbf{U}\|}$$

- izračun sil v željeni in prepovedani smeri

$$F_D = \mathbf{u} \cdot \mathbf{F}$$

$$\mathbf{F}_D = \mathbf{u} F_D$$

$$\mathbf{F}_\tau = \mathbf{F} - \mathbf{F}_D$$



Omejevalne virtualne omejitve

- delujejo kot varnostni mehanizem,
- omejujejo delovni prostor robota, ki deluje v dotiku z okolico,
- implementiramo jih lahko
 - kooperativnem robotskem sistemu (na edinem robotu),
 - v teleoperacijskem sistemu
 - na izvršni napravi (najbolj primerna izvedba),
 - na upravljalni napravi,
 - na upravljalni in izvršni napravi (izboljša zaznave operaterja),
- virtualne omejitve so lahko izvedene v obliki
 - impedance (navidezna stena izvedena z algoritmom vzmet-usmerjeni dušilnik),
 - admittance.

Admitančna izvedba virtualne omejitve

- admitančno vodenje

$$\mathbf{v} = \alpha(\mathbf{F}_D + k_\tau \mathbf{F}_\tau)$$
- najprej določimo silo v prepovedani smeri; \mathbf{n} je normala na mejo prepovedanega območja

$$F_\tau = \begin{cases} \mathbf{F} \cdot \mathbf{n} & \text{if } \mathbf{F} \cdot \mathbf{n} < 0 \\ 0 & \text{if } \mathbf{F} \cdot \mathbf{n} \geq 0 \end{cases}$$

$$\mathbf{F}_\tau = \mathbf{n} F_\tau$$

- sila v dovoljeni smeri

$$\mathbf{F}_D = \mathbf{F} - \mathbf{F}_\tau$$

- toga virtualna omejitev $k_\tau = 0$

$$\mathbf{v} = \alpha \mathbf{F}_D$$

